

تأثير عرض الفجوة الهوائية في خواص العدسات الكهربومغناطيسية ثنائية القطب الكروي المتناظرة غير المشبعة

حسين صالح حسن

كلية التربية - ابن الهيثم، جامعة بغداد

الخلاصة

إن أفضل تصميم للعدسات الكهربومغناطيسية ثنائية القطب الكروي المتناظرة غير المشبعة يتطلب خواصاً بؤرية جيدة، وفي بحثنا الحالي درس تأثير عرض الفجوة الهوائية (S) في صفات العدسة المقطبة ولاسيما القيمة الصغرى للبعد البؤري المقطبي (F_p) وخواص منحنى توزيع المجال المغناطيسي المحوري : القيمة العظمى لكتافة الفيض المغناطيسي (B_m) وعرض النصف الكلى لمنحنى توزيع المجال المغناطيسي (W)، اذ كلما كانت (F_p) صغيرة عند قيم (S) واطنة كان التكبير أعلى ما يمكن وهو مؤشر جودة تصميم العدسة المستخدمة في المجهر الإلكتروني النافذ (TEM).

المقدمة

ت تكون العدسات الكهربومغناطيسية من ملف يحمل تياراً مستمراً ومحاطاً "بحديد لزيادة المجال المغناطيسي ومنع تسرب المجال إلى خارج العدسة، اذ يعمل المجال المغناطيسي على تبخير الحزمة الإلكترونية المعجلة وتكون صورة للعينة.

وتتركز البحث على تحسين عمل العدسات فمثلاً يتم تقليل زروغ العدسات الشينية (Objective Lens) لأنها تعمل على تكوين أول صورة للعينة، بينما يتم تقليل التشويه في العدسات المقطبة (Projector Lens) لأنها تعمل على تكبير الصورة.

ومن العيوب التي تشهدها الصور في العدسات المغناطيسية هو البعد البؤري للعدسة المغناطيسية (Projector Focal Length) اذ إن العدسة المغناطيسية تعمل بصورة عامة عند القيمة الصغرى لبعدها البؤري لكي تعطي أعظم تكبير، علماً أن قيم البعاد البؤري لا تعتمد على اتجاه دخول الحزمة الالكترونية لكنها تعتمد على ميل الحزمة الالكترونية بعد خروجها من المجال المغناطيسي للعدسة.

ان الهدف من البحث هو دراسة حاسوبية لعدسات ثنائية القطب المتاظرة غير المشبعة للحصول على افضل صفات بصرية للعدسات وتصنيعها مع توافر المواد والامكانيات لاستعمالها في المجهر الالكتروني : الماسح ، النافذ والماسح النافذ .

العدسة الكهرومغناطيسية ثنائية القطب

ت تكون العدسة ثنائية القطب من دائرة حديدية وقطعتي قطب متاظرة محوريًا مصنوعة من الحديد المطاوع أو نوع آخر من الحديد وتحتوي داخلها ملف عدد لفاته كثيرة (N) ذو سلك نحاسي معزول يمر فيه تياراً مستمراً (I) يؤدي إلى توليد مجال مغناطيسي محوري بين القطبين داخل الفجوة الهوائية (Air Gap) الصغيرة التي عرضها (S) وتفصل بين القطبين الحديدين، كما توجد فتحات دائيرية صغيرة في كلقطبين (قطر فتحة القطب الأول D_1 وقطر فتحة القطب الثاني D_2) تكون متحدة المركز للسماح بمرور الحزمة الالكترونية. ويمكن أن تكون العدسة ثنائية القطب عدسة متاظرة (Symmetrical Lens) عندما يكون قطر فتحة القطبين متساوية ($D_1=D_2=D$) والمجال المغناطيسي المحوري للعدسة متاظر مع المستوى الوسطي للجوة الهوائية، وأعظم قيمة للمجال B_m تتكون في منتصف الفجوة (المستخدمة في الدراسة الحالية)، كما يمكن أن تكون العدسة ثنائية القطب عدسة لا متاظرة (Unsymmetrical Lens) عندما لا تتساوى أقطار فتحتي القطبين ($D_1 \neq D_2$).

تصميم العدسة

إن العدسة المغناطيسية ثنائية القطب الكروي التي تم صنعتها في دراستنا الحالية غير مشبعة مغناطيسياً وفيها قطبان من الحديد المطاوع بشكل نصف كرة متساويين القطر

(30mm)، بينما توضع الملفات على بعد (1mm) عن رأس سطح كل قطب وعن محبيط العدسة المكون من مادة حديدية التمغnet ، كما في الشكل (1) الذي يمثل مقطعاً عرضاً لنصف العدسة ثنائية القطب الكروي المتاظرة .

إن قطر فتحة القطب الأول (D_1) مساوية لقطر فتحة القطب الثاني (D_2) وتساوي ($D_1=D_2=D=2 \text{ mm}$) وبسبب تساوي قطري فتحة القطبين ستكون العدسة ثنائية القطب عدسة متاظرة ويكون المجال المغناطيسي المتكون نتيجة لمرور تيار مستمر (I) في ملفات العدسة متاظراً أيضاً، بينما أخذت قيم متغيرة لعرض الفجوة الهوائية بين الأقطاب الحديدية ($S=2,4,6,8,10,12 \text{ mm}$) وذلك لدراسة تأثيرها في توزيع كثافة الفيصل المغناطيسي (W, B_m) وغيرها من العوامل منها القيمة الصغرى للبعد البؤري المسقطي التي تؤثر في تكبير العدسة والوصول إلى أفضل تصميم لتلك العدسة.
لقد استخدمت في الحسابات طريقة عدبية لأجراء هذا التصميم تسمى طريقة العناصر المتناهية التي اقترحها (2) في مجال البصريات الالكترونية لأول مرة. كما استخدم تهيج ثابت ($NI=4000 \text{ A.turn}$) وهو ضمن المنطقة الخطية قبل الوصول إلى حالة التشبع المغناطيسي؛ بمعنى أن لكثافة الفيصل في أي مكان من العدسة علاقة خطية بالتهيج.

إن الملف المستخدم هو عبارة عن ملفين متماثلين بطول (42 mm) وعرض (14mm) وبذلك تكون مساحة الملفين (A) هي :

$$A = 42 \times 14 \times 2(\text{coils}) = 1176 \text{ mm}^2 = 11.76 \text{ cm}^2$$

ويكون تهيج العدسة (σ) هو مساوباً لـ :

$$\sigma = \frac{NI}{A} = \frac{4000}{1176} = 3.4013 \frac{\text{A.turn}}{\text{mm}^2} = 340.13 \frac{\text{A.turn}}{\text{cm}^2}$$

ولأن العدسة متاظرة ($D_1=D_2=D$) فإنه سيتم تمثيل المتغيرات بيانياً كما هي وليس كمتغيرات نسبية بدلالة القطر (D). فمثلاً تستخدم (S) أو (Z_m) بدلًا من ($\frac{S}{D}$) أو ($\frac{Z_m}{D}$) بالترتيب.

القيمة العظمى لكتافة الفيصل المغناطيسى (B_m)

نقل القيمة العظمى لكتافة الفيصل المغناطيسى (B_m) بزيادة عرض الفجوة الهوائية بين الأقطاب الحديدية (S) عند ثبوت قطر فتحة القطب (D)⁽³⁾ وهذا ما يوضحه الشكل (2) المرسوم بين (S), (B_m).

في حالة عدم التشبع المغناطيسى فإن أعظم قيمة للفيصل المغناطيسى (B_m) تعطى بالمعادلة الآتية:

$$B_m = \frac{\mu_0 NI}{L} \quad \dots\dots\dots [1]$$

اذ μ_0 النفوذية المغناطيسية في الفراغ وتساوي $(4\pi \times 10^{-7} H/m)$ و L هو العامل الهندسى للعدسة مقاس بالمتر ويعطى بالمعادلة:

$$L = (S^2 + 0.45D^2)^{1/2} \quad \dots\dots\dots [2]$$

لذلك فإن العلاقة بين (B_m) و $(\frac{1}{L})$ علاقة خط مستقيم ميله يساوى:

$$\mu_0 NI = 4\pi \times 10^{-7} \times 4000 = 5.02 \times 10^{-3} tesla.m \quad \dots\dots\dots [3]$$

وهذا ما يوضحه الشكل (3) المرسوم بين (B_m) و $(\frac{1}{L})$ لقيم مختلفة من عرض الفجوة الهوائية (S) ومنه نجد الميل:

$$slope = 4.88 \times 10^{-3} tesla.m \quad \dots\dots\dots [4]$$

وهو ما يساوى تقريراً القيمة النظرية $(5.02 \times 10^{-3} tesla.m)$ الموجودة في المعادلة [3].

موقع قمة كثافة الفيصل المغناطيسى (Z_m)

في حالة العدسة المتاظرة بفجوة (S) وقطر فتحة القطب (D) يصبح موقع القمة

$$\text{النسبة} \quad \frac{Z_m}{D} = \frac{1}{2} \frac{S}{D} \quad \text{، ولأن } (D_1=D_2=D) \text{ في الدراسة الحالية فهذا يعني أن:}$$

$$Z_m = \frac{1}{2} S = 0.5S \quad \text{or} \quad \frac{Z_m}{S} = 0.5 \quad \dots\dots\dots [5]$$

وبذلك يكون موقع قمة كثافة الفيصل المغناطيسى Z_m مساوياً لنصف عرض الفجوة الهوائية وهو عامل مهم في تصميم العدسة الشينية للمجهر الإلكتروني وموقع العينة (5).

إن المعادلة [5] يمكن تحقيقها من خلال الشكل (4) المرسوم بين $(S), (Z_m)$ وفيه يتضح إن (Z_m) تزداد بزيادة (S) وهي علاقة خطية وميل الخط المستقيم فيها يساوي:

$$slope = 0.5 \quad \dots\dots\dots [6]$$

نلاحظ أن القيمة الناتجة (0.5) في المعادلة [6] تساوي القيمة النظرية (0.5) الموجودة في المعادلة [5].

عرض النصف الكلي لمنحنى توزيع المجال المغناطيسي (W) يقاس عرض النصف الكلي (W) لمنحنى توزيع المجال المغناطيسي من النقطة التي تكون فيها كثافة الفيصل المغناطيسي ($B_r = \frac{B_m}{2}$)، كما إن لعرض النصف (W) علاقة طردية خطية بالثابت الهندسي (L) للعدسة كما في المعادلة (6):

$$W = 0.97(S^2 + 0.45D^2)^{1/2} = 0.97L \quad [7]$$

وتشير المعادلة [7] أن التاسب طردي بين كل من (W), (S), و(D) وهذا واضح في الشكل (5) و (S), (L), (D) وهو واضح في الشكل (6)، و (W), (L), (D) ويوضحه الشكل (7) المرسوم بين (W), (L) ولقيم مختلفة من عرض الفجوة الهوائية (S) ويكون خط مستقيم:

slope = 0.987 [8]

نلاحظ أن القيمة الناتجة (0.987) في المعادلة [8] تساوي تقريباً القيمة النظرية الموجودة في المعادلة [7].

القيمة الصغرى للبعد البؤري المنسقطي $(F_p)_{\min}$ لجميع العدسات ثنائية القطب المتاظرة فإن القيمة الصغرى للبعد البؤري المنسقطي $(F_p)_{\min}$ لها علاقة بالثابت الهندسي (L) للعدسة وحسب المعادلة: (4)

$$(F_p)_{\min} = 0.5154W \quad \dots\dots\dots [10]$$

عند ثبوت قطر فتحة القطب (D) أو متوسط قطر الفتحة (D_m) حيث $(D_m) = \frac{D_1 + D_2}{2}$ فإن القيمة الصغرى للبعد البؤري المقطعي $(F_p)_{\min}$ تزداد مع زيادة عرض الفجوة الهوائية (S) وهذا ما يوضحه الشكل (8) المرسوم بين $(F_p)_{\min}$ و (S)، حيث نستنتج من ذلك إن استخدام عرض فجوة صغير يعطي أقل قيمة لـ $(F_p)_{\min}$ وبالتالي يمكن الحصول منها على أعظم تكبير (7).

الشكل (9) يوضح العلاقة بين $(F_p)_{\min}$ و (L) بقيم مختلفة لعرض الفجوة (S)

وهي علاقة خطية وبإيجاد الميل نجد أن:

$$Slope = 0.51 \quad \dots\dots\dots [11]$$

نلاحظ أن القيمة الناتجة (0.51) في المعادلة [11] تساوي تقريباً القيمة النظرية (0.5) الموجودة في المعادلة [9].

أما الشكل (10) فيوضح العلاقة بين $(F_p)_{\min}$ و (W) ولقيم مختلفة من عرض الفجوة الهوائية S المستخدمة وهي علاقة خطية طردية وميل الخط يساوي:

$$Slope = 0.52 \quad \dots\dots\dots [12]$$

نلاحظ أن القيمة الناتجة (0.52) في المعادلة [12] تساوي تقريباً القيمة النظرية (0.5154) الموجودة في المعادلة [10].

في العدسات المتناظرة ($D_1=D_2=D=2R$ ، إذ R هي نصف قطر فتحة المحورية للقطب الكروي). وأخذت في الدراسة الحالية ($R=1mm$) لأن ($D=2mm$) وكذلك تكون النسبة $\left(\frac{(F_p)_{\min}}{R}\right) = 1.23$ في حالة عرض الفجوة الهوائية ($S=2mm$)

وهي قريبة من النسبة 1.18 التي أوجدها (8) باستخدام أقطاب مستوى الوجه، وعند زيادة عرض الفجوة (S) فإن قيمة النسبة أعلى تزداد وهذا ما موجود في الدراسة الحالية فعند ($S=2,4,6,8,10,12$ mm) تكون النسبة

$$\left(\frac{(F_p)_{\min}}{R}\right) = 1.23, 2.19, 3.15, 4.26, 5.24, 6.21 \quad \text{بالترتيب.}$$

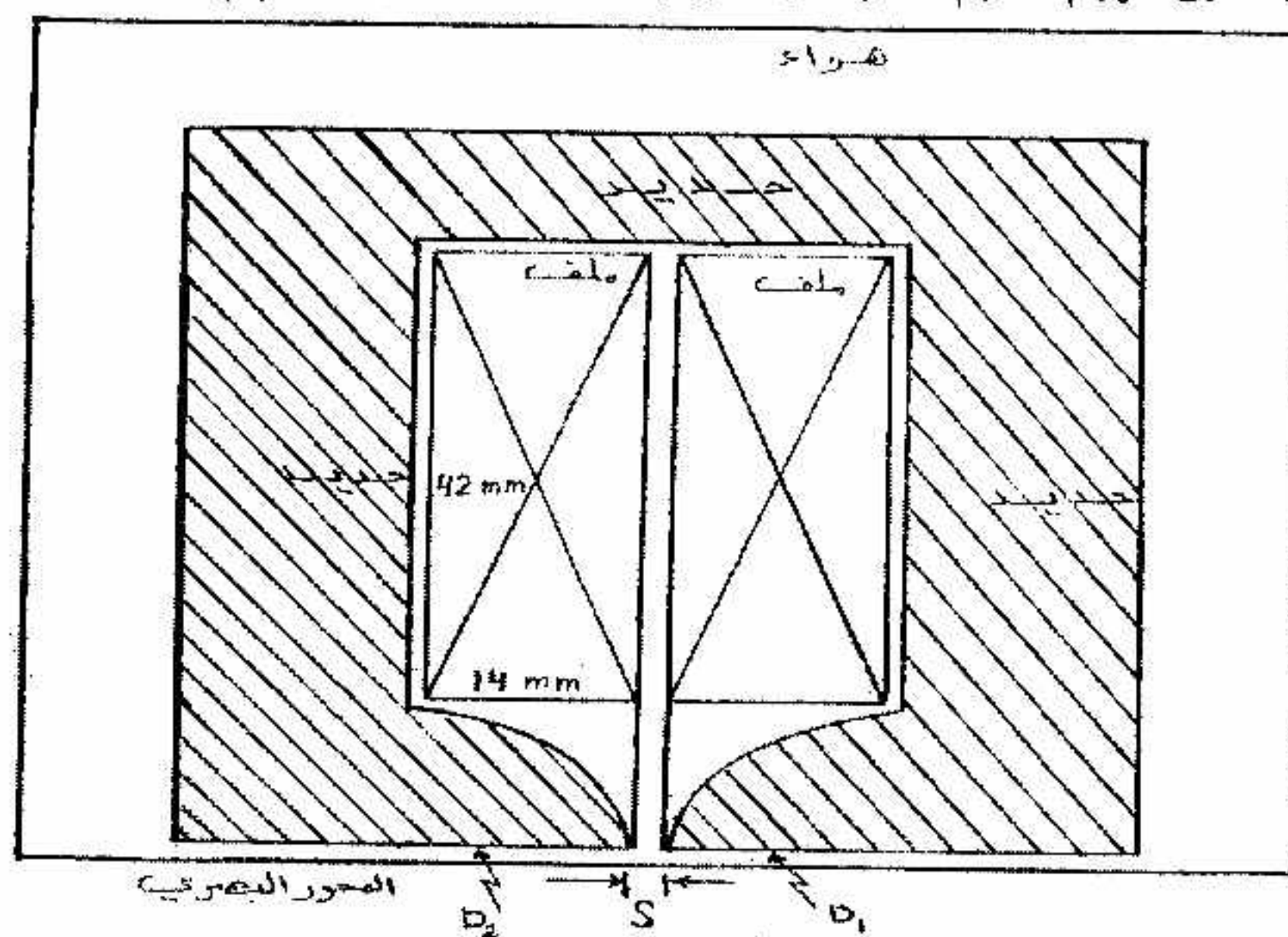
إن الفرق البسيط في قيم الميل الناتجة من الأشكال في الدراسة الحالية بالمقارنة مع المعاملات الموجودة في المعادلات النظرية راجع لدقة الحسابات والتصميم المفترض.

الاستنتاج

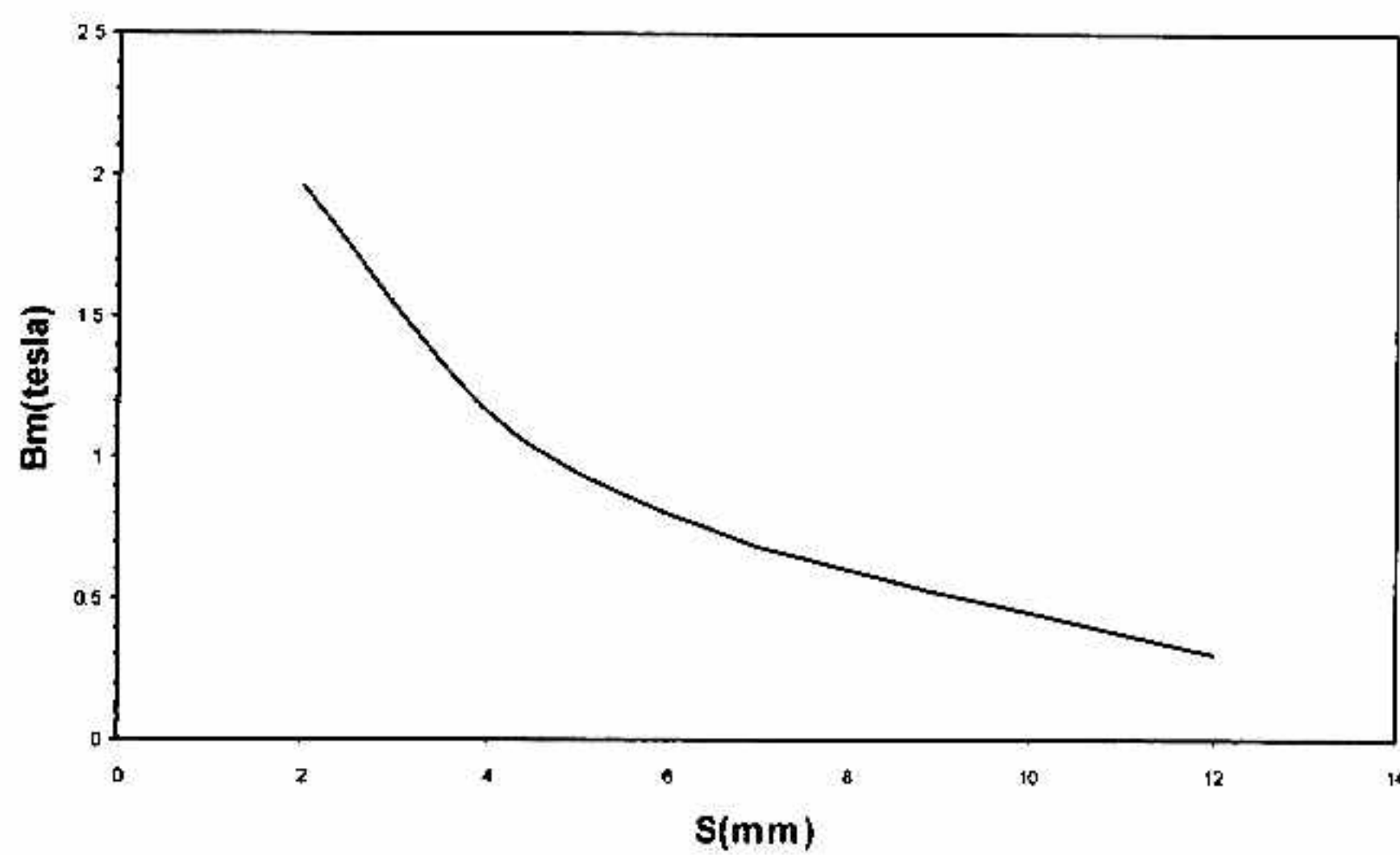
- 1- إن اصغر بعد بؤري مسقطي يمكن الحصول عليه عندما يكون عرض الفجوة الهوائية اصغر ما يمكن.
- 2- إن عرض الفجوة الهوائية بين قطبي العدسة يؤثر في شكل توزيع المجال المغناطيسي بحيث تقل القيمة العظمى لكتافة الفيض المغناطيسي ويزداد عرض النصف الكلى لمنحني توزيع المجال مع زيادة عرض الفجوة الهوائية.
- 3- إن الثابت الهندسى للعدسة وعرض النصف الكلى لمنحني توزيع المجال المغناطيسي يؤثر في القيمة الصغرى للبعد البؤري المسقطى فالمفضل أن يكون الثابت الهندسى وعرض النصف ذو قيم واطئة للحصول على اصغر بعد بؤري مسقطي ومن ثم أعلى قيمة تكبير.
- 4- تحقيق المعادلات النظرية رقم [1,5,7,9,10] والاقتراب بالقيم المحسوبة من المعاملات الموجودة نظريا.
- 5- يمكن اقتراح دراسة تعداد فيها الدراسة الحالية باستخدام قطر فتحة القطبين (D) بقيمة (1 mm) أو (0.5 mm) وملاحظة تحسن الخواص البؤرية للعدسة، كما يمكن استخدام قيم مختلفة لعرض الفجوة الهوائية أدنى من القيم التي استخدمت في الدراسة الحالية ($S < 2$ mm) للاحظة الفرق ومدى تحسن العدسة الجديدة.

المصادر

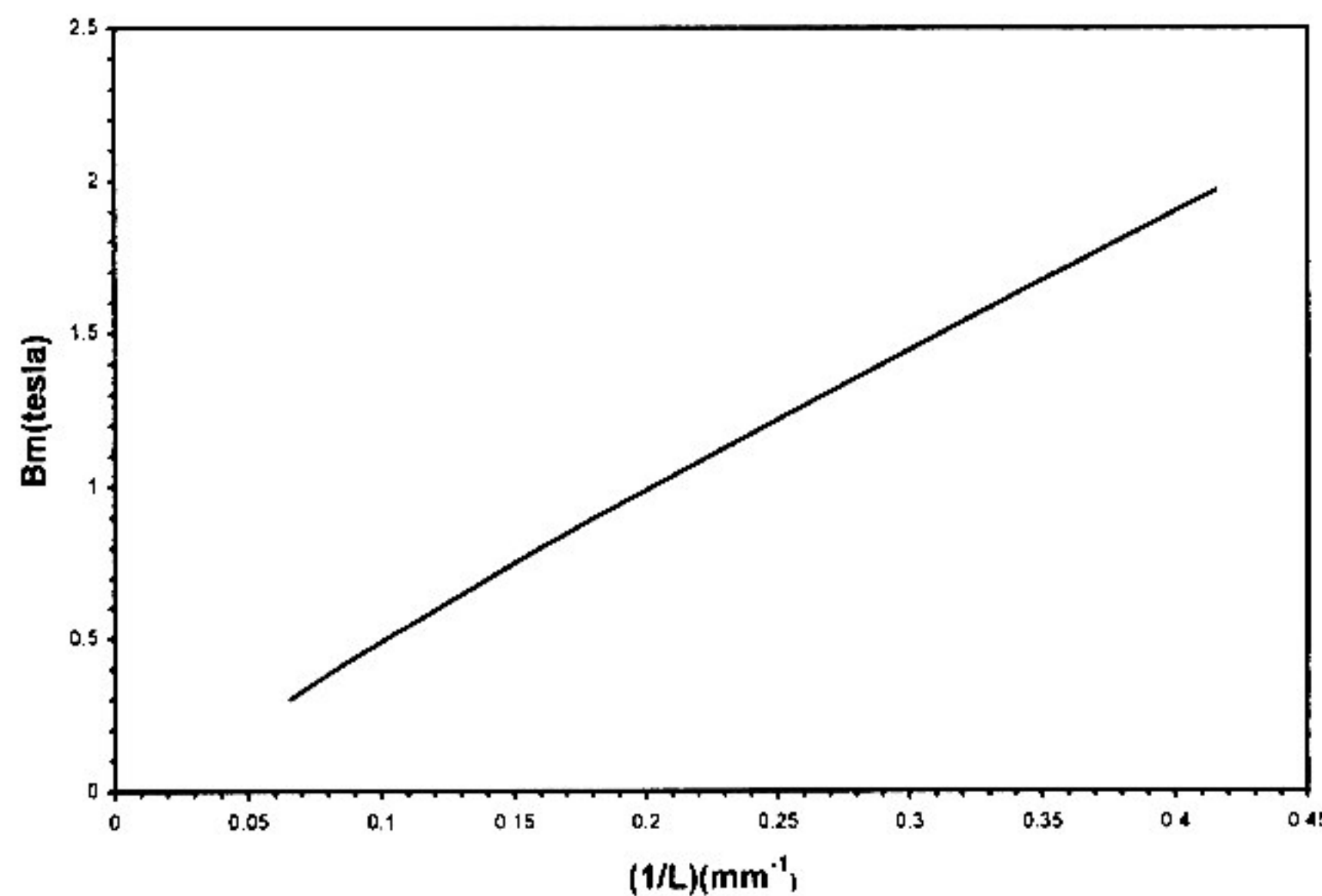
1. حسن، حسين صالح . (1989) حسابات عن تصميم العدسات الالكترونية المغناطيسية الأحادية القطب المشبعة . رسالة ماجستير – كلية التربية – الجامعة المستنصرية.
2. Munro, E.(1973). Ed. P. W. Hawkes(London: Academic pp.163-357.
3. Liebmann, G.(1955). Proc. Phys. Soc., B68, 679-681.
4. Dugas, J. Durandeau, P.and Fert, C.(1961). Rev.Opt. 40, 277-305
5. Juma, S. M. and Yahya, A. A. (1984).J.Phys. E:Sci .Instrum.,17, 401-403.
6. Durandeau, P. and Fert, C. (1957). Rev. Opt. 36, 205-234.
7. Juma, S.M. and Yahya, A.A. (1986). J Phys.E: Sci. Instrum., 19, 614-624.
8. Liebmann,G. (1952). Proc. Phys. Soc., B65,94-108



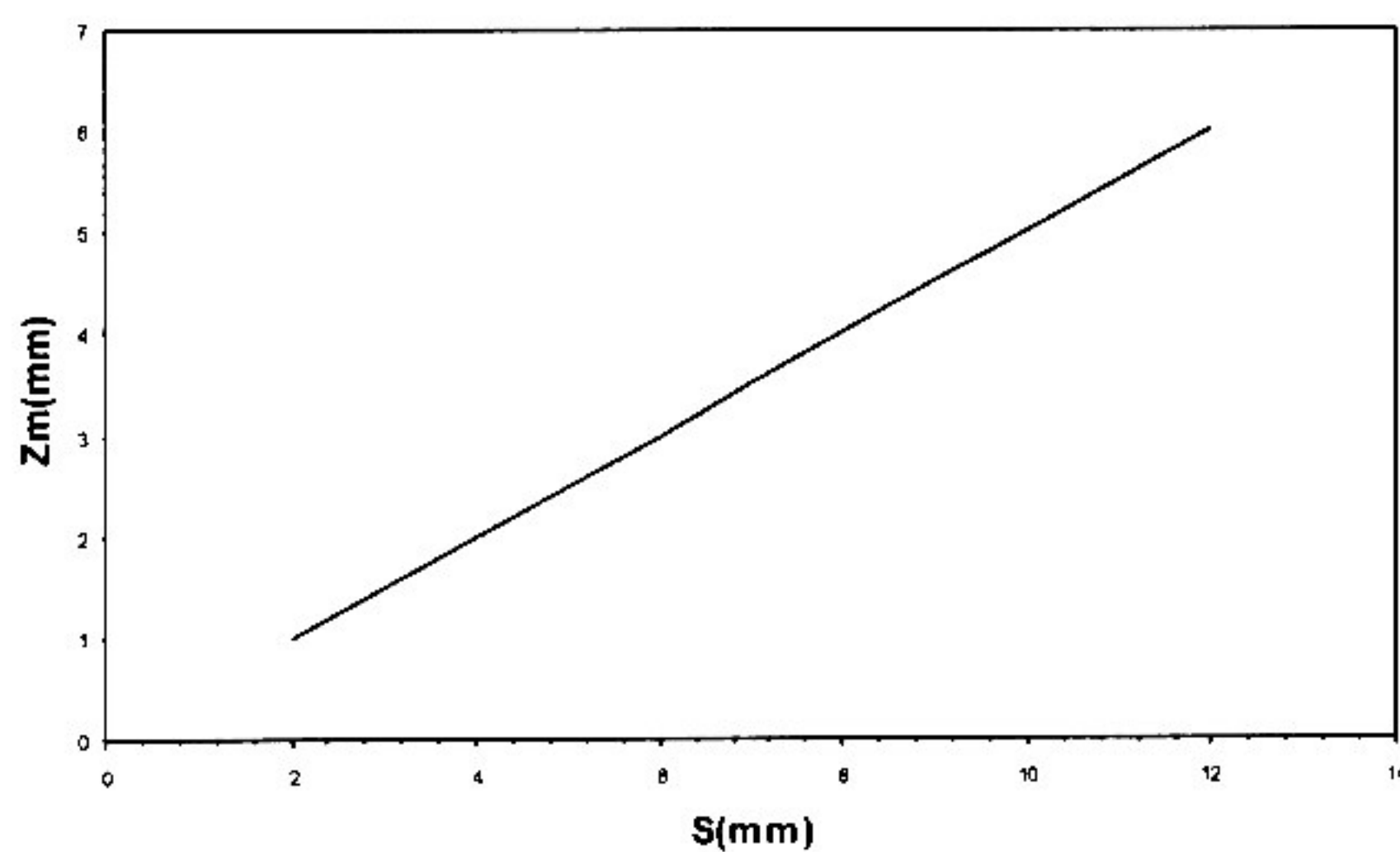
شكل: (1) مقطع عرضي لنصف العدسة ثنائية القطب الكروي المتناهية



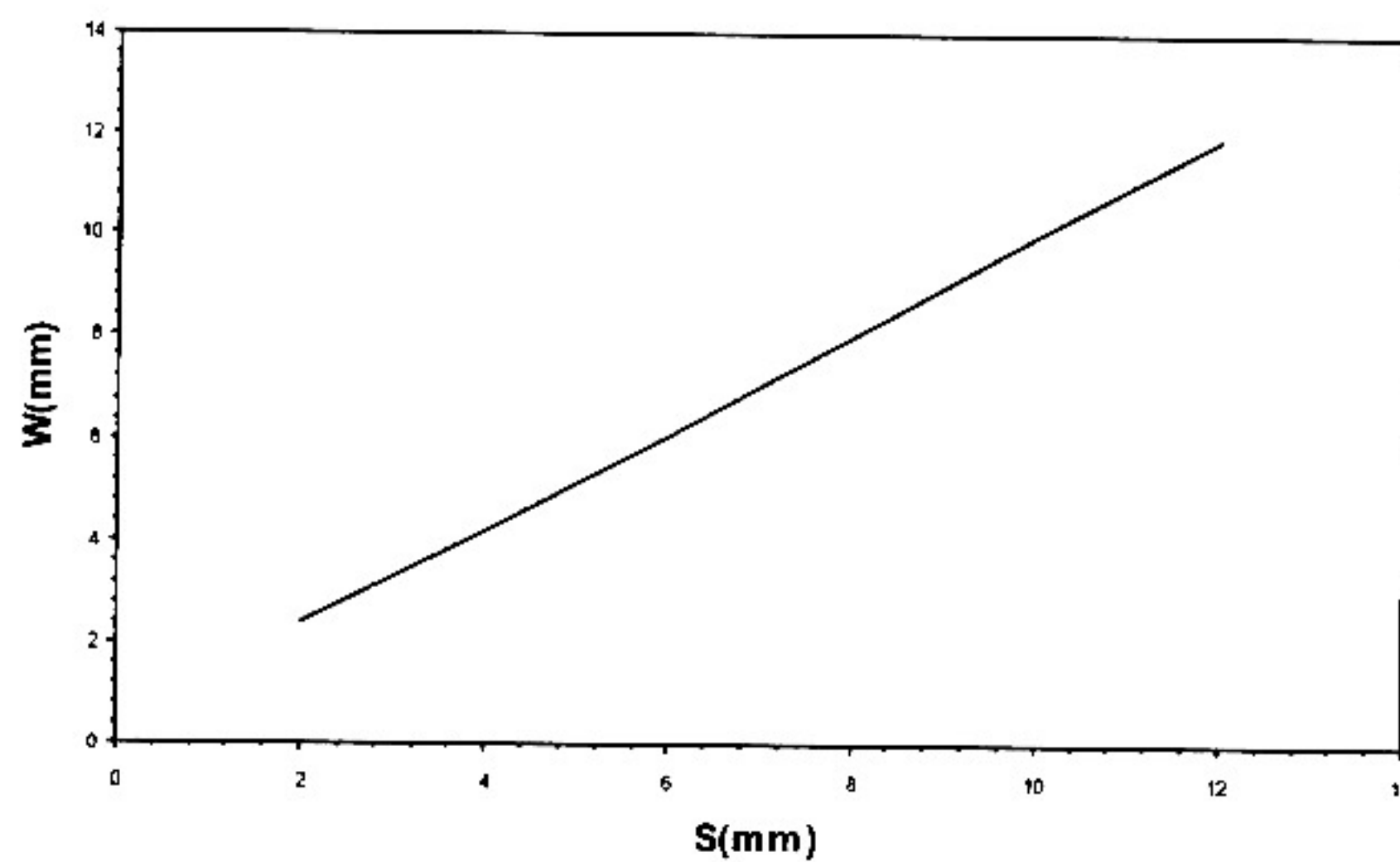
شكل: (2) تغير القيمة العظمى لكتافة الفيض المغناطيسى المحوري (B_m) مع عرض الفجوة الهوائية (S)



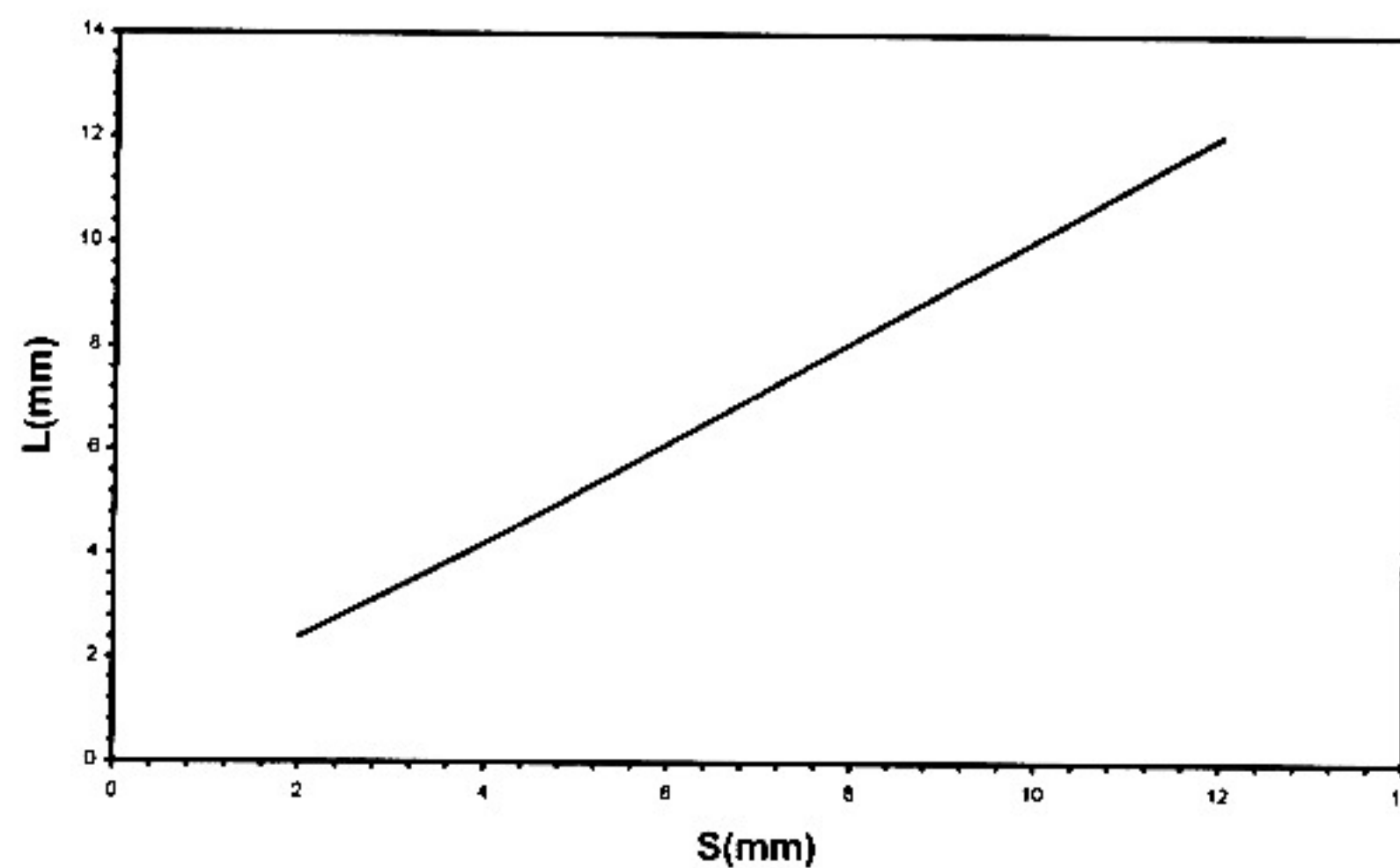
شكل: (3) تغير القيمة العظمى لكثافة الفيض المغناطيسى المحورى (B_m) مع مقلوب الثابت الهندسى ($1/L$) لقيم مختلفة من عرض الفجوة الهوائية (S)



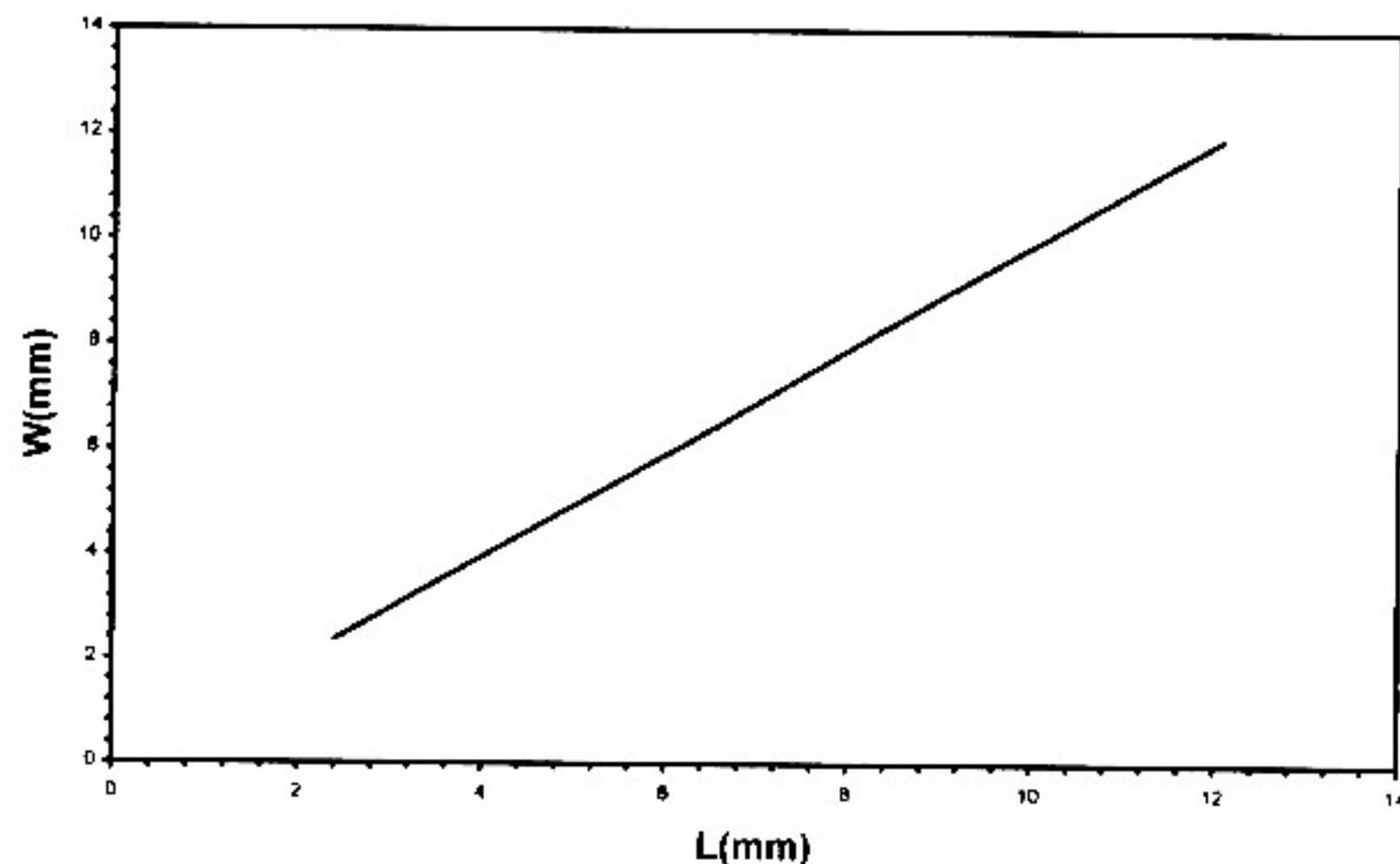
شكل: (4) تغير موقع قمة كثافة الفيض المغناطيسى المحورى (Z_m) مع عرض الفجوة الهوائية (S)



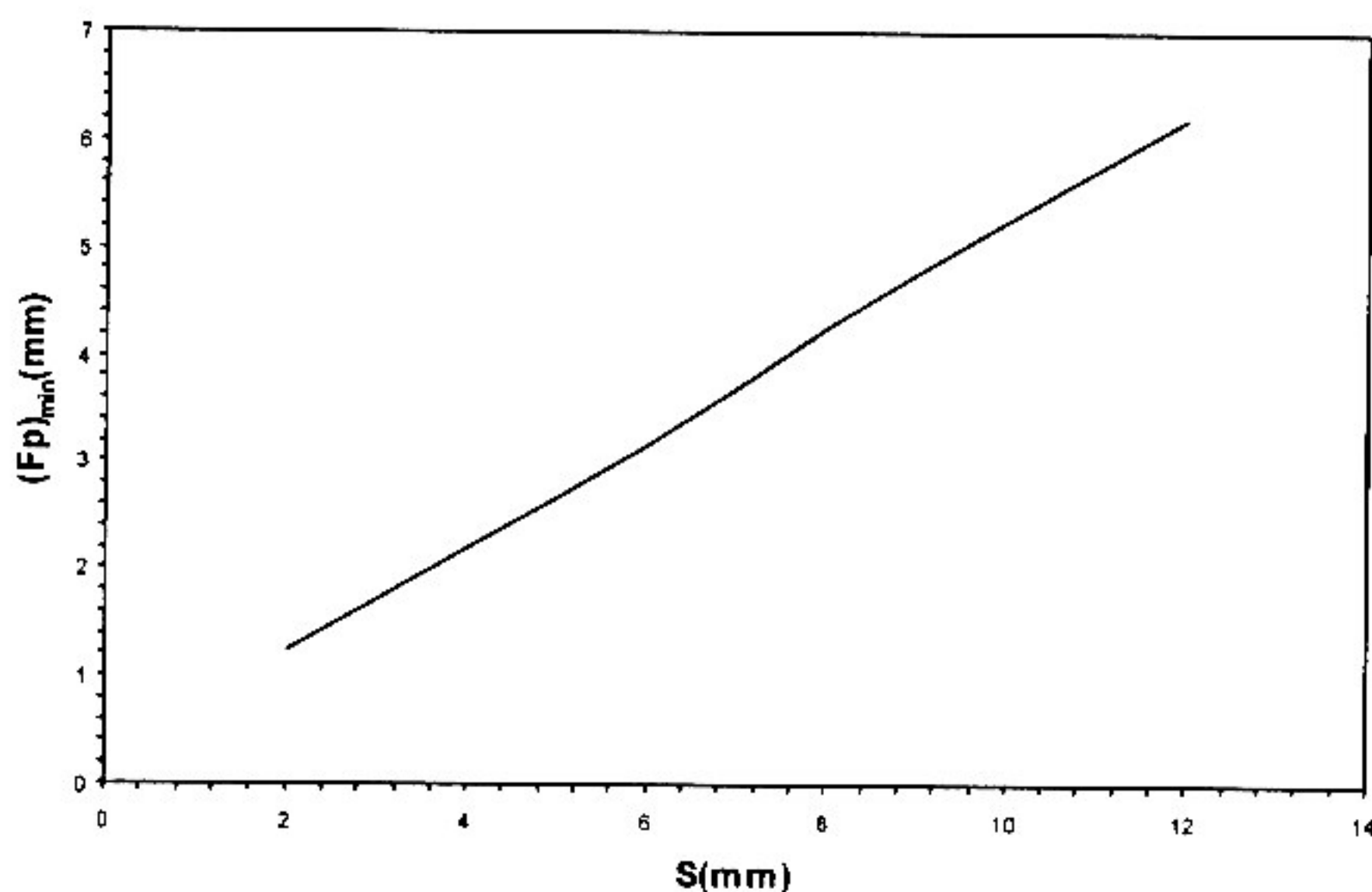
شكل: (5) تغير عرض النصف الكلي (W) لمنحنى توزيع المجال المغناطيسي مع عرض الفجوة الهوائية (S)



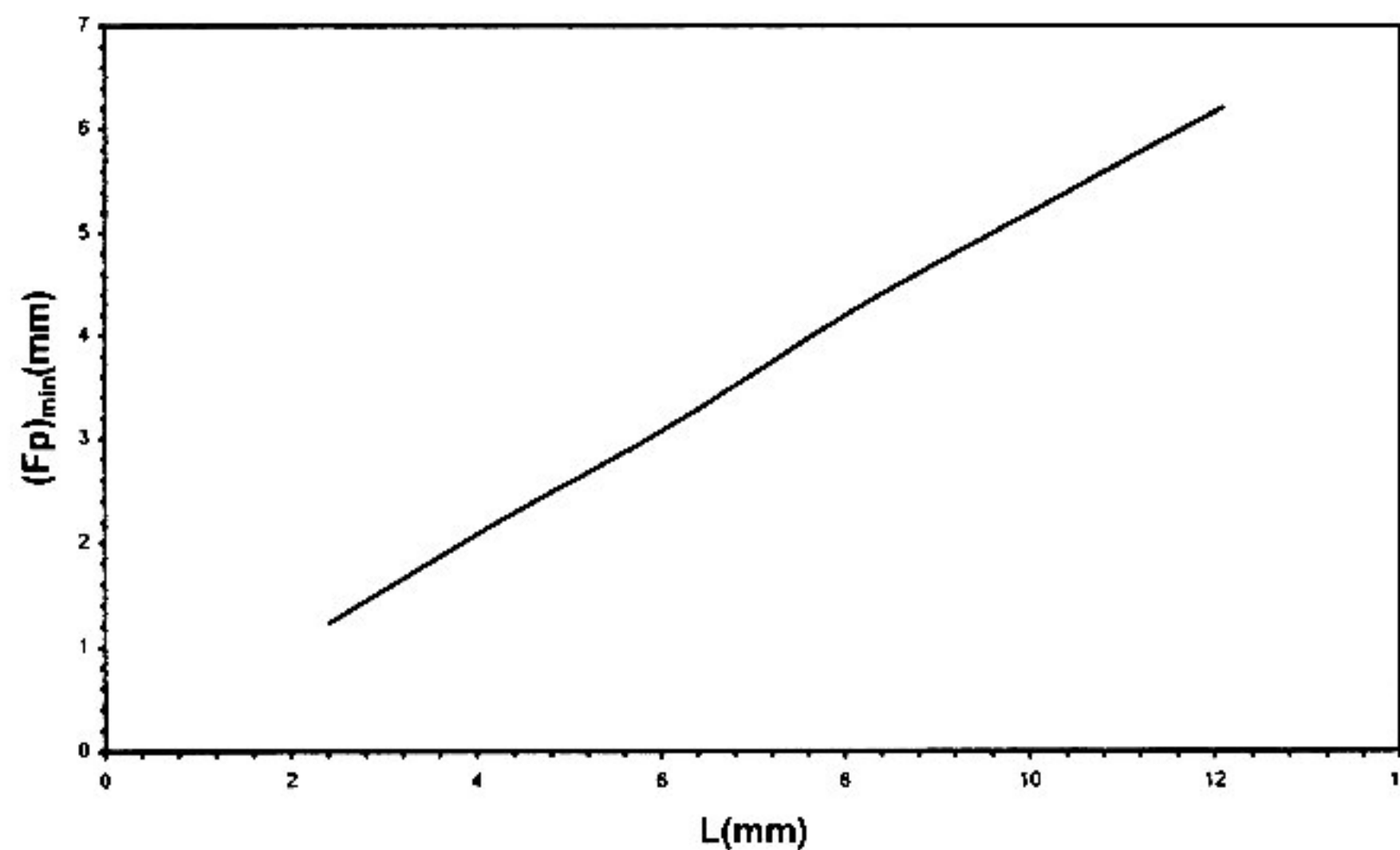
شكل: (6) تغير الثابت الهندسي (L) للعدسة مع عرض الفجوة الهوائية (S)



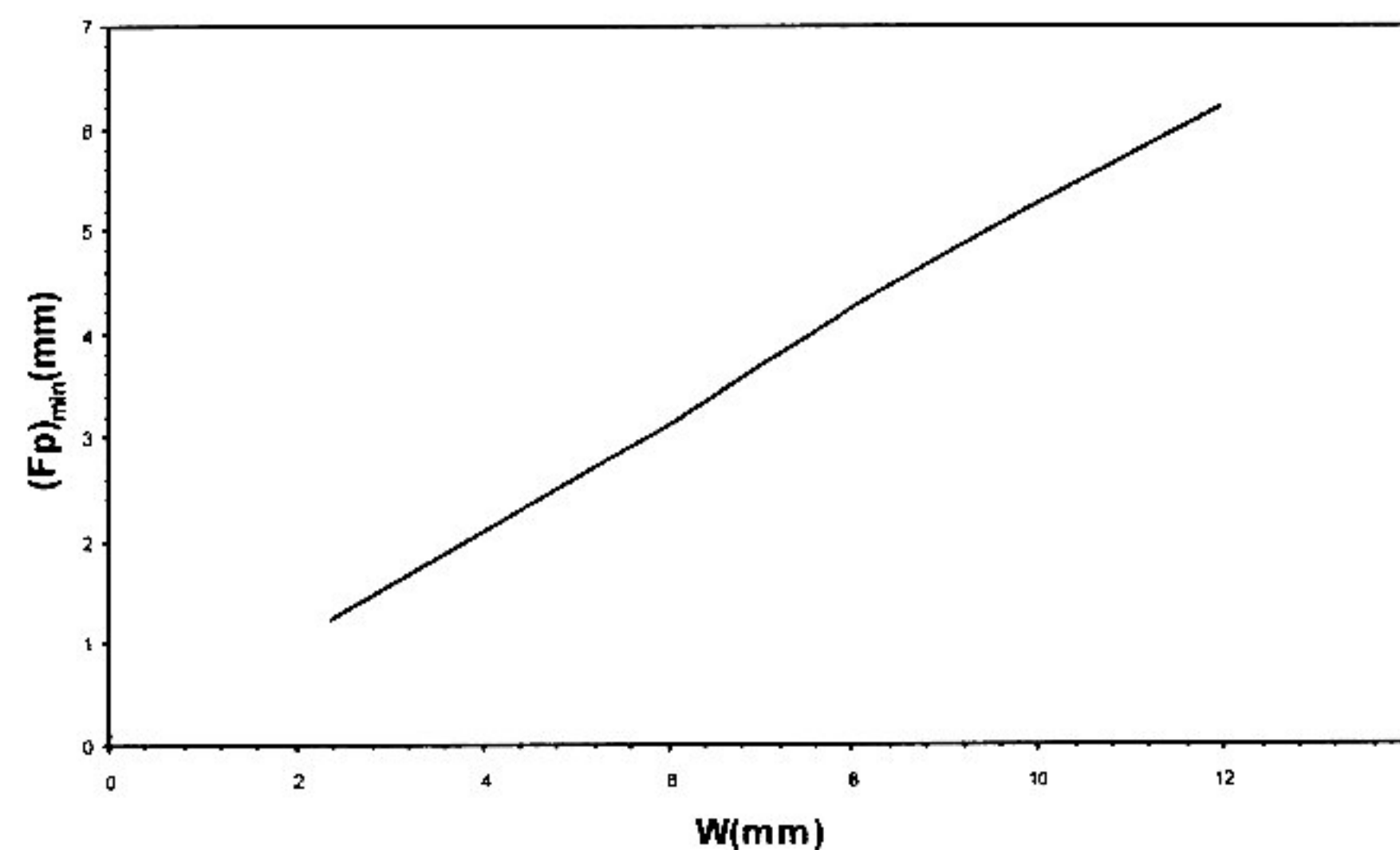
شكل: (7) تغير عرض النصف الكلي (W) لمنحنى توزيع المجال المغناطيسي مع الثابت الهندسي (L) للعدسة لقيم مختلفة من عرض الفجوة الهوائية (S)



شكل: (8) تغير القيمة الصغرى للبعد البؤري المنسقطي $(F_p)_{\min}$ مع عرض الفجوة الهوائية (S)



شكل: (9) تغير القيمة الصغرى للبعد البؤري المنسقطي $(F_p)_{\min}$ مع الثابت الهندسي للعدسة لقيم مختلفة من عرض الفجوة الهوائية (S)



شكل: (10) تغير القيمة الصغرى للبعد البؤري المنسقطي $(F_p)_{\min}$ مع عرض النصف الكلي لمنحي توزيع المجال المغناطيسي لقيم مختلفة من عرض الفجوة الهوائية (S)

Air Gap Effect on the Properties of Unsaturated Symmetrical Double Polepiece Lenses

H. S. Hasan

**College of Education, Ibn-Al Haitham, University of
Baghdad.**

Abstract

The preferable design for unsaturated symmetrical spherical double-pole piece electron lens required good focal properties, and in this present study investigate effect of air gap wide (S) on the properties of the projector lens specialized the minimum projector focal length $(F_p)_{min}$ and the properties of the axial magnetic field distribution:(the maximum value of magnetic flux density B_m and total half width of magnetic field curve W) , and at lowest values of $(F_p)_{min}$ at low values of (S) will be obtained high magnification and there is an importance indicator for preferable lens design which is used in transmission electron microscope (TEM).